

Starkniederschlagshöhen und -spenden gemäß KOSTRA-DWD-2020

Rasterfeld 77126

(Zeile 77, Spalte 126)

Regenspende und Bemessungsniederschlagswerte in Abhängigkeit von Wiederkehrzeit T und Dauerstufe D

| Dauerstufe D | | Wiederkehrzeit T | | | | | | | | | | | | | | | | | |
|--------------|-----|------------------|------------|------|------------|------|------------|------|------------|-------|------------|-------|------------|-------|------------|-------|------------|-------|------------|
| | | 1 a | | 2 a | | 3 a | | 5 a | | 10 a | | 20 a | | 30 a | | 50 a | | 100 a | |
| min | Std | mm | l / (s ha) | mm | l / (s ha) | mm | l / (s ha) | mm | l / (s ha) | mm | l / (s ha) | mm | l / (s ha) | mm | l / (s ha) | mm | l / (s ha) | mm | l / (s ha) |
| 5 | | 7,0 | 233,3 | 8,5 | 283,3 | 9,4 | 313,3 | 10,7 | 356,7 | 12,5 | 416,7 | 14,3 | 476,7 | 15,5 | 516,7 | 17,1 | 570,0 | 19,4 | 646,7 |
| 10 | | 8,5 | 141,7 | 10,4 | 173,3 | 11,6 | 193,3 | 13,1 | 218,3 | 15,3 | 255,0 | 17,6 | 293,3 | 19,1 | 318,3 | 21,0 | 350,0 | 23,8 | 396,7 |
| 15 | | 9,6 | 106,7 | 11,7 | 130,0 | 13,0 | 144,4 | 14,7 | 163,3 | 17,2 | 191,1 | 19,7 | 218,9 | 21,4 | 237,8 | 23,6 | 262,2 | 26,7 | 296,7 |
| 20 | | 10,4 | 86,7 | 12,7 | 105,8 | 14,1 | 117,5 | 15,9 | 132,5 | 18,6 | 155,0 | 21,4 | 178,3 | 23,2 | 193,3 | 25,6 | 213,3 | 29,0 | 241,7 |
| 30 | | 11,6 | 64,4 | 14,2 | 78,9 | 15,8 | 87,8 | 17,8 | 98,9 | 20,8 | 115,6 | 23,9 | 132,8 | 25,9 | 143,9 | 28,6 | 158,9 | 32,4 | 180,0 |
| 45 | | 13,0 | 48,1 | 15,8 | 58,5 | 17,6 | 65,2 | 19,9 | 73,7 | 23,3 | 86,3 | 26,7 | 98,9 | 29,0 | 107,4 | 32,0 | 118,5 | 36,2 | 134,1 |
| 60 | 1 | 14,0 | 38,9 | 17,1 | 47,5 | 19,0 | 52,8 | 21,6 | 60,0 | 25,2 | 70,0 | 28,9 | 80,3 | 31,4 | 87,2 | 34,6 | 96,1 | 39,2 | 108,9 |
| 90 | 1,5 | 15,7 | 29,1 | 19,1 | 35,4 | 21,3 | 39,4 | 24,1 | 44,6 | 28,1 | 52,0 | 32,3 | 59,8 | 35,0 | 64,8 | 38,6 | 71,5 | 43,7 | 80,9 |
| 120 | 2 | 16,9 | 23,5 | 20,7 | 28,8 | 23,0 | 31,9 | 26,0 | 36,1 | 30,4 | 42,2 | 34,9 | 48,5 | 37,8 | 52,5 | 41,7 | 57,9 | 47,3 | 65,7 |
| 180 | 3 | 18,9 | 17,5 | 23,1 | 21,4 | 25,6 | 23,7 | 29,0 | 26,9 | 33,9 | 31,4 | 38,9 | 36,0 | 42,2 | 39,1 | 46,5 | 43,1 | 52,7 | 48,8 |
| 240 | 4 | 20,4 | 14,2 | 24,9 | 17,3 | 27,7 | 19,2 | 31,4 | 21,8 | 36,6 | 25,4 | 42,1 | 29,2 | 45,6 | 31,7 | 50,3 | 34,9 | 57,0 | 39,6 |
| 360 | 6 | 22,8 | 10,6 | 27,8 | 12,9 | 30,9 | 14,3 | 35,0 | 16,2 | 40,9 | 18,9 | 46,9 | 21,7 | 50,9 | 23,6 | 56,1 | 26,0 | 63,6 | 29,4 |
| 540 | 9 | 25,4 | 7,8 | 31,0 | 9,6 | 34,5 | 10,6 | 39,0 | 12,0 | 45,6 | 14,1 | 52,4 | 16,2 | 56,8 | 17,5 | 62,6 | 19,3 | 70,9 | 21,9 |
| 720 | 12 | 27,5 | 6,4 | 33,5 | 7,8 | 37,3 | 8,6 | 42,2 | 9,8 | 49,3 | 11,4 | 56,6 | 13,1 | 61,4 | 14,2 | 67,6 | 15,6 | 76,6 | 17,7 |
| 1080 | 18 | 30,6 | 4,7 | 37,4 | 5,8 | 41,6 | 6,4 | 47,1 | 7,3 | 55,0 | 8,5 | 63,1 | 9,7 | 68,5 | 10,6 | 75,5 | 11,7 | 85,5 | 13,2 |
| 1440 | 24 | 33,1 | 3,8 | 40,4 | 4,7 | 44,9 | 5,2 | 50,8 | 5,9 | 59,4 | 6,9 | 68,2 | 7,9 | 74,0 | 8,6 | 81,5 | 9,4 | 92,4 | 10,7 |
| 2880 | 48 | 39,9 | 2,3 | 48,7 | 2,8 | 54,1 | 3,1 | 61,3 | 3,5 | 71,6 | 4,1 | 82,2 | 4,8 | 89,1 | 5,2 | 98,2 | 5,7 | 111,3 | 6,4 |
| 4320 | 72 | 44,5 | 1,7 | 54,3 | 2,1 | 60,4 | 2,3 | 68,3 | 2,6 | 79,8 | 3,1 | 91,7 | 3,5 | 99,4 | 3,8 | 109,6 | 4,2 | 124,1 | 4,8 |
| 5760 | 96 | 48,1 | 1,4 | 58,7 | 1,7 | 65,2 | 1,9 | 73,8 | 2,1 | 86,2 | 2,5 | 99,0 | 2,9 | 107,4 | 3,1 | 118,4 | 3,4 | 134,1 | 3,9 |
| 7200 | 120 | 51,1 | 1,2 | 62,3 | 1,4 | 69,3 | 1,6 | 78,4 | 1,8 | 91,6 | 2,1 | 105,2 | 2,4 | 114,1 | 2,6 | 125,7 | 2,9 | 142,4 | 3,3 |
| 8640 | 144 | 53,6 | 1,0 | 65,4 | 1,3 | 72,7 | 1,4 | 82,4 | 1,6 | 96,2 | 1,9 | 110,5 | 2,1 | 119,8 | 2,3 | 132,0 | 2,5 | 149,6 | 2,9 |
| 10080 | 168 | 55,9 | 0,9 | 68,2 | 1,1 | 75,8 | 1,3 | 85,8 | 1,4 | 100,3 | 1,7 | 115,1 | 1,9 | 124,9 | 2,1 | 137,6 | 2,3 | 155,9 | 2,6 |

Starkniederschlagshöhen und -spenden gemäß KOSTRA-DWD-2020

Rasterfeld 77126

(Zeile 77, Spalte 126)

Örtliche Unsicherheiten in Abhängigkeit von Wiederkehrzeit T und Dauerstufe D

| Dauerstufe D | | Wiederkehrzeit T | | | | | | | | |
|--------------|-----|------------------|-----|-----|-----|------|------|------|------|-------|
| | | 1 a | 2 a | 3 a | 5 a | 10 a | 20 a | 30 a | 50 a | 100 a |
| min | Std | ± % | ± % | ± % | ± % | ± % | ± % | ± % | ± % | ± % |
| 5 | | 14 | 15 | 16 | 17 | 18 | 19 | 19 | 20 | 21 |
| 10 | | 16 | 18 | 19 | 20 | 22 | 23 | 23 | 24 | 24 |
| 15 | | 17 | 19 | 20 | 22 | 23 | 24 | 24 | 25 | 26 |
| 20 | | 18 | 20 | 21 | 22 | 23 | 24 | 25 | 25 | 26 |
| 30 | | 18 | 20 | 21 | 22 | 23 | 24 | 25 | 26 | 26 |
| 45 | | 17 | 19 | 20 | 22 | 23 | 24 | 24 | 25 | 26 |
| 60 | 1 | 16 | 19 | 20 | 21 | 22 | 23 | 24 | 24 | 25 |
| 90 | 1,5 | 15 | 18 | 19 | 20 | 21 | 22 | 23 | 23 | 24 |
| 120 | 2 | 14 | 17 | 18 | 19 | 20 | 21 | 22 | 22 | 23 |
| 180 | 3 | 13 | 15 | 16 | 18 | 19 | 20 | 20 | 21 | 22 |
| 240 | 4 | 12 | 14 | 15 | 17 | 18 | 19 | 19 | 20 | 21 |
| 360 | 6 | 11 | 13 | 14 | 15 | 17 | 17 | 18 | 19 | 19 |
| 540 | 9 | 11 | 12 | 13 | 14 | 15 | 16 | 17 | 17 | 18 |
| 720 | 12 | 10 | 12 | 13 | 14 | 15 | 15 | 16 | 17 | 17 |
| 1080 | 18 | 10 | 11 | 12 | 13 | 14 | 15 | 15 | 15 | 16 |
| 1440 | 24 | 10 | 11 | 12 | 12 | 13 | 14 | 14 | 15 | 15 |
| 2880 | 48 | 11 | 11 | 12 | 12 | 13 | 13 | 13 | 14 | 14 |
| 4320 | 72 | 13 | 12 | 12 | 12 | 13 | 13 | 13 | 14 | 14 |
| 5760 | 96 | 14 | 13 | 13 | 13 | 13 | 13 | 14 | 14 | 14 |
| 7200 | 120 | 15 | 14 | 14 | 14 | 14 | 14 | 14 | 14 | 14 |
| 8640 | 144 | 15 | 14 | 14 | 14 | 14 | 14 | 14 | 14 | 14 |
| 10080 | 168 | 16 | 15 | 15 | 15 | 14 | 14 | 14 | 15 | 15 |

Parameter für abweichende T und D

Lokationsparameter ξ (Xi)

14,09013873

Skalenparameter α (Alpha)

4,31266607

Formparameter κ (Kappa)

-0,1

1. Koutsoyiannis-Parameter θ (Theta)

0,00429839

2. Koutsoyiannis-Parameter η (Eta)

0,73093666

Parameter für dauerstufenübergreifende Extremwertschätzung nach KOUTSOYIANNIS et al. 1998.

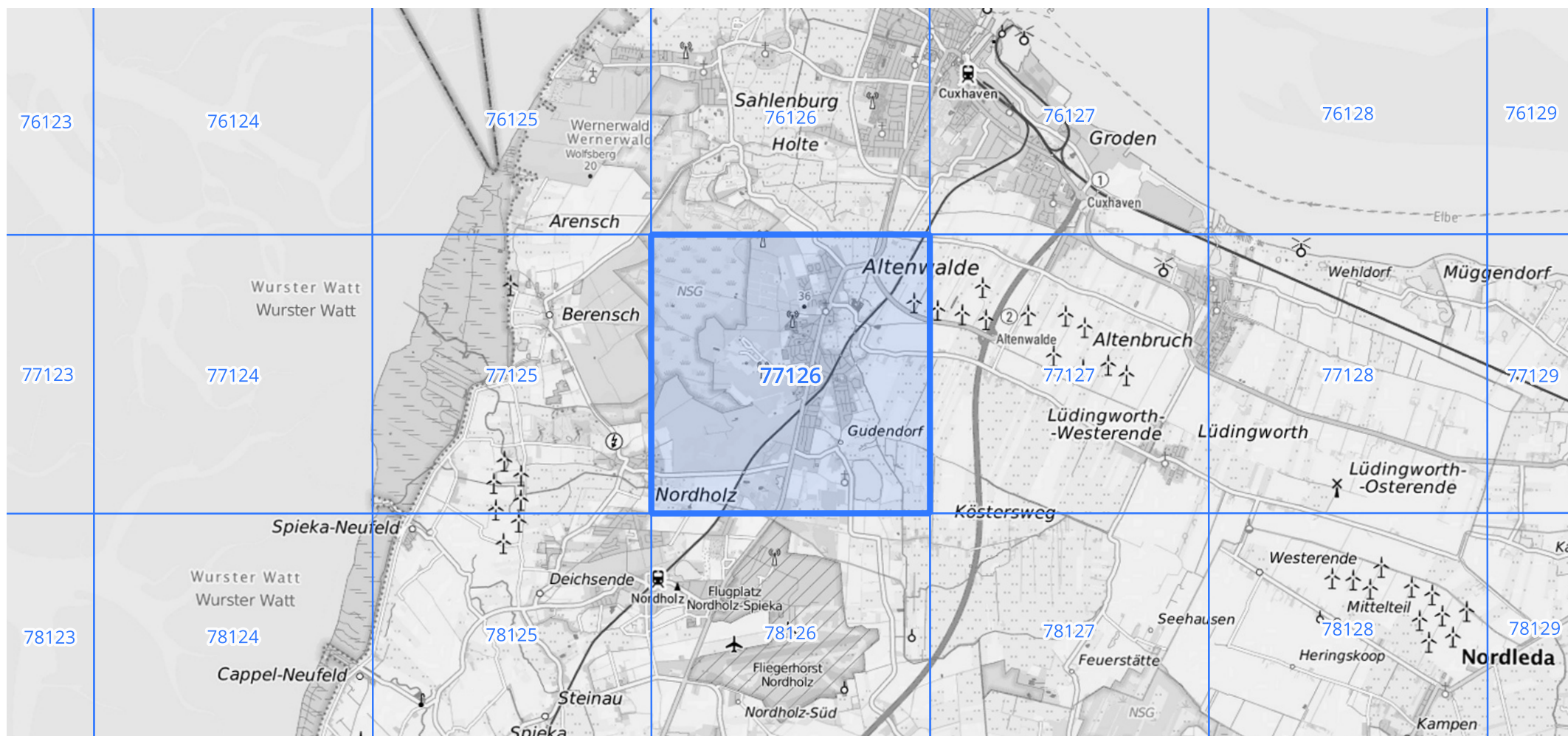
Siehe auch Anwendungshilfe zu KOSTRA-DWD-2020 des Deutschen Wetterdienstes.

Starkniederschlagshöhen und -spenden gemäß KOSTRA-DWD-2020

Rasterfeld 77126

(Zeile 77, Spalte 126)

Übersichtskarte des Rasterfeldes 77126, M 1 : 100 000



Quelle Rasterdaten: KOSTRA-DWD-2020 des Deutschen Wetterdienstes, Stand 12/2022.

Seite 3 von 3

Kartendarstellung: © Bundesamt für Kartographie und Geodäsie (2023), Datenquellen: https://sgx.geodatenzentrum.de/web_public/gdz/datenquellen/Datenquellen_TopPlusOpen.html

Für die Richtigkeit und Aktualität der Angaben wird keine Gewähr übernommen. Erstellt 01/2023.